

日大理工土木 正員 北田 勇輔

この研究は鉄筋コンクリート梁がせん断破壊を起した場合の引張鉄筋のせん断力の分担について検討したものである。

鉄筋コンクリート梁の破壊様相には種々あることが知られており、梁がせん断破壊を起す場合でも破壊様相によつて鉄筋のせん断力分担割合は異なるものと考えられるが、本研究では破壊様相はせん断開げ破壊として鉄筋のかずみからせん断力の分担割合について検討した。

使用材料および供試体の各値は表-1

に示したとおりで載荷方法は図-1のようないふ方法とした。

鉄筋コンクリート梁の破壊時の荷重の分配を図-2のようにすでに提案されてゐるようになると、鉄筋が分担すべき荷重 S_s は式-1 であたえらる。

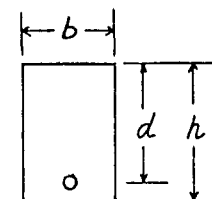
$$S_s = \frac{R\alpha_0 - T\beta}{\alpha} \quad \dots \dots \dots \quad (1)$$

図-2 および式-1 からこの破壊様相に相当するものはせん断開げ破壊でありこの破壊様相に適合しないような他の破壊様相のものはこの方法では鉄筋の荷重分担も或はコンクリートの荷重分担も破壊様相に適した方法でなければ真の値とはならないであろう。 α/d が小さい範囲では腰部コンクリートの圧壊あるいは割裂による破壊となりせん断力の計算方法としてはでしろこのようは破壊を生じさせるような鉄筋の荷重分担を考えるべきであろうし又 α/d が大きな範囲でも鉄筋量、コンクリートの強度等によつて破壊につながる主なひびわれ発生位置(ひびわれ発生角)更にはコンクリートの圧縮部の深さも異なるものと考えられるので式-1 を使用する場合でも T , β , および α の取り方は単純ではない。本研究では鉄筋の左右および上下(図参照)にゲージ面はり左右にはつたゲージにより引張力 T を又コンクリートの圧縮面にはつたゲージにより圧縮力 R を求めこれより中立軸比 γ ($\gamma = P/R$) を求め更に応力中心距離 δ ($\delta = d(1 - \gamma/2)$)

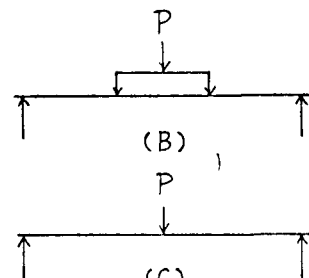
を求める。 S_s の作用位置は破壊につながるひびわれ発生位置

	h (cm)	d (cm)	b (cm)	γ (cm)	L (cm)	ℓ (cm)	鉄筋 φ6	柱 φ12	載荷法 (kg/cm)	試験 (kg/cm)	T_s (kg)	P_s (kg)		
49-1-1	235	20	10	+20	15	0.974	27	19229	3.2/2	B	227	3700	4.6	13.4
2	-	-	-	-	-	0.934	40	-	C	-	-	-	0.9	8.2
3	-	-	-	-	30	2334	60	-	B	-	-	-	0.7	5.75
4	-	-	-	-	-	2534	90	-	B	-	-	-	0.7	5.10
5	-	-	-	-	-	2334	100	-	B	-	-	-	0.9	5.05
49-2-1	235.5	20	10	+20	15	0.974	27	19228	3.0/1	B	227	2800	4.9	12.6
2	-	-	-	-	-	0.800	40	-	C	-	-	-	2.0	8.2
3	-	-	-	-	30	2334	60	-	B	-	-	-	1.2	5.75
4	-	-	-	-	-	2334	80	-	B	-	-	-	1.2	4.65
5	-	-	-	-	-	2334	100	-	B	-	-	-	0.3	4.0

載荷法 B:二点載荷 C:二点載荷 L:梁長 A:スパン



梁断面



載荷方法.

図-1



鉄筋ゲージ位置

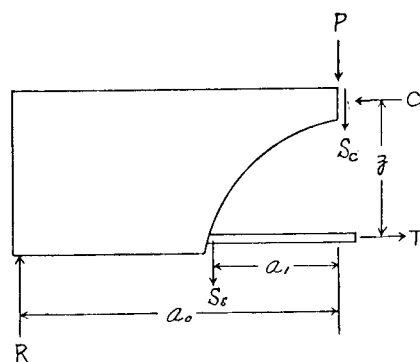


図-2

であるとして α_1 を求めた、 α_1 はひびわれ角が梁軸に対して 37° であるとすると本実験では $\alpha_1 = 26.5\text{cm}$ となるが実験結果から実測した値は $25 \sim 48\text{cm}$ の間にあった。

S_s の計算結果より $S_s/S_o = p_s$ (鉄筋の分担率) とし、 a_s/d との関係を求めたのが図-3である。 p_s はほど a_s/d が大きくなるに従って大きくなる傾向を示すが a_s/d が Z の位置で小さくなるような結果になつていい、これは a_s/d が 1.35 の場合ひびわれは支点と載荷点を結ぶように発生しこの場合には引張力が発生する又 a_s/d が Z の場合にはひびわれは支点より若干内側と支点を結ぶ位置に発生し終局耐力時の鉄筋の引張力 T はかなり大きくなり鉄筋の上下左右のひびわれには差がほとんど見られない、これは載荷点を軸として梁が回転しているものと考えられ他の場合に見られるような梁軸に直角方向に鉄筋が曲げられる現象があったとしても式-1の性質から大きな分担を示すような値にはならぬ、この現象は鉄筋量によつても異なるものと考えられさらに圧縮側コンクリートの圧縮域の深さにも関係するものと思われる、破壊機構としてはせん断せん破壊とせん断曲げ破壊とが混合した破壊様相になるものと考えられ a_s/d が大きくなれば鉄筋は梁軸方向と直角方向の力の影響をうけるようになるから鉄筋はひびわれ発生位置での荷重分担は大きくなるものと思われる。

鉄筋コンクリート梁の載荷重はひびわれ発生以前には載荷点から放射状に配分されひびわれ発生後はその位置に集中的に作用するものと考えられる従って破壊につながるようなひびわれ発生位置はひびわれ発生角によって支配されるものと考えられるこれは梁の破壊機構の解明にあたって梁内部にアーチを想定するかあるいはトラスを想定するにしても二点はひびわれ発生角によって異なり従って鉄筋の荷重分担も異なってくるであろう。

ひびわれ発生角を無視し破壊様相はせん断曲げ破壊として圧縮筋コンクリートと引張鉄筋の梁軸に直角方向の変形が等しいとしてコンクリートのせん断力の分担率 (p_c) を求めると式-2が得られ、更に終局耐力時のモーメントを求める式はモールの式を利用すると式-3が得られ、式-2、式-3を使用した結果では鉄筋の応力

$$p_c = \frac{1 - \frac{\mu_s}{2(1+\mu_s)} \cdot \frac{a_0}{d} \cdot \frac{1}{1-p_s/p}}{\frac{E_s N \pi \phi (1+\mu_s)}{4N' E_b (1+\mu_s)} + \frac{\mu_s}{2(1+\mu_s)} \cdot \frac{a_0}{d} \cdot \frac{1}{p_s/p} \cdot \frac{E_s N \pi \phi (1+\mu_s)}{4N' E_b (1+\mu_s)} + 1} \quad 2$$

N ; 鉄筋の本数、 N' ; 鉄筋が壁面に並ぶ本数、 ϕ ; 鉄筋の直径、 $p_s = 1 - p_c$

$$\mu_s = p_c \bar{\mu}_s y \frac{1}{1 + 4 \left(\frac{p_s \delta}{a_0} \right)^2} b dz \quad 3$$

ことによって比較的よい一致を見る、これは鉄筋量および付着応力等にも関係があるようでありガボリ厚さ等も含めて更に検討が必要であるように思われる。

- 異形
- 普通

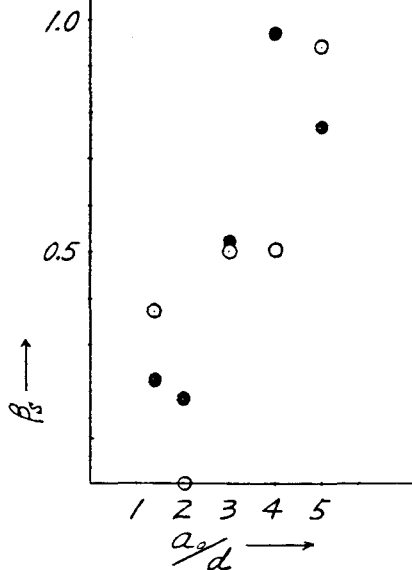


図-3

度が降伏応力度に達しているような梁では破壊モーメントと計算モーメントは比較的よい一致を見たが鉄筋が降伏応力度に達していなければ梁では $\bar{\mu}_s$ に測定値 $\bar{\mu}_s$ を使用する